

معادلات مستقیم برای تعیین عمق ثانویه و افت انرژی پرش هیدرولیکی در کanal‌های ذوزنقه‌ای با شیب کم

بهنام شفیعی ثابت^۱ مجید توانگری^۲ غلامباس بارانی^۳ محمد جواد خانجانی^۴

(دریافت ۸۵/۱۲/۳۶ پذیرش ۸۶/۷/۱۰)

چکیده

طراحی کanal‌ها و حوضچه‌های آرامش مستلزم تعیین عمق ثانویه و افت انرژی پرش هیدرولیکی می‌باشد. حل معادلات اندازه حرکت و انرژی در یک کanal با مقطع ذوزنقه‌ای دارای شیب کم با روش‌های پیچیده سعی و خطا یا دیگر روش‌های عددی امکان پذیر است. راه حل دیگر استفاده از منحنی نیروی مخصوص- عمق بهازای دبی مشخص یا استفاده از جدولها و نمودارهای کمکی است. در این تحقیق، ابتدا معادلات اندازه حرکت و انرژی به معادلات بی‌بعد تبدیل شده‌اند. سپس با استفاده از نتایج حل عددی این معادلات و با آنالیز رگرسیون غیرخطی چندمتغیره، معادلات مستقیمی برای تعیین عمق ثانویه و افت انرژی پرش هیدرولیکی در کanal‌های ذوزنقه‌ای با شیب کم، پیشنهاد شده است. معادلات پیشنهادی دقت بسیار خوبی در محدوده کاربردهای مهندسی دارند و برای محدوده وسیعی از مقادیر دبی، ضریب شکل مقطع و اعداد فرود ۱ تا ۱۳ قابل استفاده می‌باشند.

واژه‌های کلیدی: کanal‌های باز، پرش هیدرولیکی، مقطع ذوزنقه‌ای، افت انرژی، عدد فرود.

Direct Equations for Sequent Depth and Energy Loss of Hydraulic Jump in Low Slope Trapezoidal Channel

Behnam Shafiee Sabet¹ Majid Tavangari² Gholamabbas Barani³ Mohammad Javad Khanjani³

(Received Mar. 16, 2007 Accepted Sep. 1, 2007)

Abstract

Design of channels and stilling basins requires knowledge of various elements of hydraulic jump such as discharge, sequent depth, and energy loss. In the case of low slope trapezoidal channel, the solutions of energy and momentum equations involve tedious methods of trial and error. To solve this problem, various methods have evolved in terms of tables, graphs, and nomograms or a set of empirical equations valid only in a specific range. In this study, the energy and momentum equations are first converted to the dimensionless form. Then, nonlinear multiple regression analysis of the data set obtained from numerical solution of equations was used to develop direct explicit empirical equations for post-jump depth and energy loss in a low slope trapezoidal channel. The proposed equations for hydraulic jump elements are of high accuracy and applicable to a wide range of discharge intensity values and initial conditions without any limitations in comparison to other methods attempted so far.

Keywords: Open Channels, Hydraulic Jump, Trapezoidal Channels, Energy Loss, Froude Number.

1. Faculty Member at University of Gilan, and PhD Student of Hydraulic Structures, Civil Eng. Department, Shahid Bahonar University, behnamshafiei@yahoo.com
2. PhD Student of Hydraulic Structures, Civil Eng. Department, Shahid Bahonar University
3. Professor, Civil Eng. Department, Shahid Bahonar University

- ۱- عضو هیئت علمی دانشگاه گیلان، دانشجوی دکترای عمران- سازه‌های هیدرولیکی، دانشگاه شهید باهنر کرمان، behnamshafiei@yahoo.com
- ۲- دانشجوی دکترای عمران- سازه‌های هیدرولیکی، دانشگاه شهید باهنر کرمان
- ۳- استاد بخش مهندسی عمران، دانشگاه شهید باهنر کرمان

۱- مقدمه

۶ درصد هستند و به وسیله سوامی و همکاران و سینگ^۷ در سال ۲۰۰۵ مورد نقد و بررسی قرار گرفتند [۱، ۷ و ۸].

در این مقاله، معادلات ساده و صریحی پیشنهاد شده‌اند که با استفاده از آنها می‌توان شرایط جریان در مقطع ثانویه پرش هیدرولیکی را در کanal‌های با مقطع ذوزنقه‌ای زمانی که شرایط جریان در مقطع اولیه معلوم باشد، تقریب زد. این معادلات با استفاده از آنالیز رگرسیون غیر خطی چند متغیره اطلاعات به دست آمده از حل عددی معادلات اندازه حرکت و انرژی به دست آمده‌اند و در محدوده وسیعی از شرایط جریان قابل استفاده بوده و دارای دقیق بسیار خوبی در برآورد عمق ثانویه و افت انرژی پرش هیدرولیکی هستند.

۲- مواد و روشهای

۱-۱- معادلات حاکم

رابطه بین عمقهای اولیه و ثانویه، دبی جریان و مشخصات هندسی جریان در مقطع اولیه و ثانویه پرش هیدرولیکی در یک کanal باز با مقطع ذوزنقه‌ای بر اساس اصل اندازه حرکت و با توجه به فرضیات زیر به دست می‌آید:

۱- بستر کanal افقی است یا شیب طولی آن ملائم است، به طوری که مؤلفه افقی وزن توده آبی که پرش را تشکیل می‌دهد، به اندازه کافی کوچک است.

۲- کanal ذوزنقه‌ای و منشوری و با شیب‌های جانبی دو طرف مساوی z است.

۳- پرش به طور ناگهانی رخ می‌دهد و جریان قبل و بعد از پرش بدون اصطکاک است.

۴- طول پرش کوچک است به طوری که اصطکاک سطح کanal ناچیز است.

۵- توزیع سرعت در مقطع کanal قبل و بعد از پرش یکنواخت و توزیع فشار هیدرولستاتیک است و ضریب تصحیح اندازه حرکت یک است.

مشخصات مقطع جریان که در شکل ۱ نشان داده شده است، به صورت زیر قابل بیان است:

$$\begin{aligned} A &= \left(\frac{b}{y} + z \right) y^2, \quad T = \left(\frac{b}{y} + 2z \right) y, \\ \bar{y} &= \left(\frac{\frac{b}{y} + z}{\frac{2y}{b} + 3} \right) y, \quad D = \frac{A}{T} \end{aligned} \quad (1)$$

پرش هیدرولیکی از مباحث مهم در هیدرولیک کanal‌های باز است که با توجه به کاربردهای آن در زمینه‌های مختلف از جمله کاهش انرژی جریان عبوری از روی سرریز سدها، افزایش تراز آب در کanal‌ها به منظور پخش آب و مخلوط نمودن مواد شیمیایی جهت تصفیه آب یا فاضلاب، مطالعات دامنه داری روی آن صورت گرفته است. برای طراحی کanal‌ها و حوضچه‌های آرامش لازم است اجزای مختلف پرش هیدرولیکی مانند عمقهای اولیه و ثانویه پرش، افت انرژی و کارآیی پرش بر حسب مقادیر مختلف دبی جریان، عدد فرود، عرض کف و شیب جانبی مجرأ مشخص شود. برای حل این مسئله در کanal‌های با مقطع ذوزنقه‌ای روشهای مختلفی که غالباً بر مبنای استفاده از جدولها، منحنی‌ها یا مجموعه‌ای از روابط تجربی که تنها در محدوده مشخصی از داده‌ها اعتبار دارند، ارائه شده است. راه حل دیگر، حل معادلات اندازه حرکت و انرژی مخصوص با استفاده از روشهای سعی و خطای روشهای دیگر است. استفاده از این روشهای منظور بررسی‌های تحلیلی مسائل مربوط به طراحی، دشوار است [۱]. اشتراپ^۱ در سال ۱۹۷۸ با استفاده از تقریب ریاضی روشهای را برای محاسبه عمق ثانویه پرش هیدرولیکی در کanal‌های با مقطع دایره پیشنهاد کرد که دارای خطای حدود ۱۰ درصد است [۲]. چادری^۲ در سال ۱۹۹۳ و چاو^۳ در سال ۱۹۷۳ منحنی‌های کمکی برای تخمین عمق ثانویه پرش هیدرولیکی در کanal‌های ذوزنقه‌ای ارائه نمودند [۳ و ۴]. اداره عمران ایالات متحده^۴ در سال ۱۹۷۳ نمودارهای تحلیلی مختلفی برای تعیین نسبت عمق ثانویه به عمق اولیه و افت انرژی پرش هیدرولیکی بر حسب عدد فرود و ضریب شکل مقطع کanal‌های ذوزنقه‌ای ارائه نمود، لیکن این نمودارها در محدوده‌های پایین عدد فرود و محدوده‌های بالای ضریب شکل مقطع قابل استفاده نیستند [۵]. سوامی^۵ و همکاران در سال ۲۰۰۴ با استفاده از قضیه لاگرانژ، رابطه‌های مستقیمی برای محاسبه اجزای پرش هیدرولیکی در کanal‌های مستطیلی افقی ارائه نمودند [۶]. چوراسیا^۶ در سال ۲۰۰۳ با استفاده از رگرسیون غیرخطی چند متغیره معادلات مستطیلی افقی پیشنهاد کرد. این معادلات دارای خطای کمتر از

¹ Strub

² Chaudhry

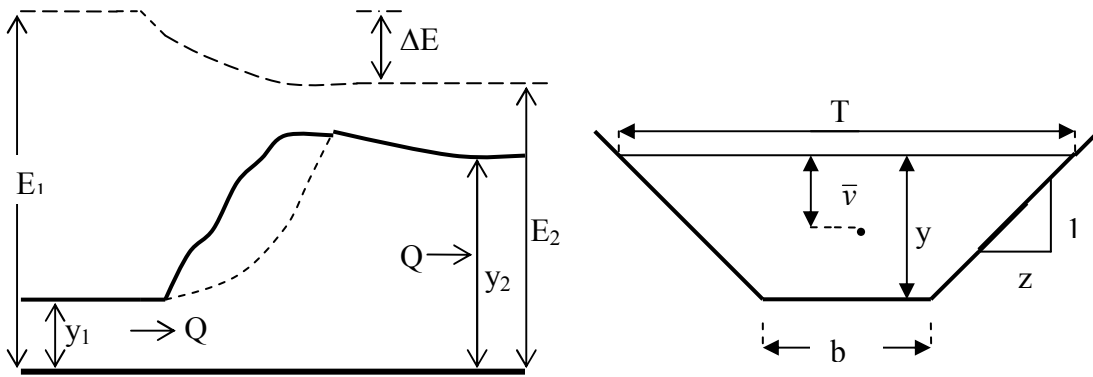
³ Chow

⁴ USBR

⁵ Swamee

⁶ Chaurasia

⁷ Singh



الف-قطع عرضی کanal ذوزنقه‌ای

ب-قطع طولی پرش هیدرولیکی

شکل ۱-مشخصات مقاطع جریان

b/y₁، Fr₁، ΔE/E₁، عمق هیدرولیکی جریان و z تقلیل می‌یابند.

۲-معادلات برای تعیین عمق ثانویه با جایگزینی روابط ۱ و ۳ در رابطه ۲ می‌توان معادله زیر را که برحسب پارامترهای بی بعد تنظیم شده است، به دست آورد:

$$\left(\frac{b}{zy_1} + 1 \right)^2 \times Fr_1^2 \times \left(\frac{y_2}{y_1} \right)^2 + 0.5 \left(\frac{b}{zy_1} + \frac{1}{3} \right) \times \left(\frac{y_2}{y_1} \right)^2 = \\ \left(\frac{b}{zy_1} + 1 \right)^3 \times \left(\frac{b}{zy_1} \right) \times Fr_1^2 \times \left(\frac{y_2}{y_1} \right) + \left(\frac{3b}{zy_1} + 2 \left(\frac{y_2}{y_1} \right) \right) \left(\frac{y_2}{y_1} \right)^4 \\ \left(\frac{b}{zy_1} + 2 \right) \times \left(\frac{b}{zy_1} + \frac{y_2}{y_1} \right) \quad (6)$$

که در این رابطه، $b/(zy)$ ضریب شکل قطع می‌باشد.

حل عددی رابطه ۶، y_2/y_1 را برای مجموعه‌ای از مقادیر Fr_1 ، b/y_1 و z به دست می‌دهد. با انجام این تحلیل برای $1 \leq b/y_1 \leq 5$ ، $0 \leq Fr_1 \leq 13$ و $0 \leq z \leq 2/5$ مقدار y_2/y_1 به ازای محدوده بسیار وسیعی از داده‌ها به دست آمد. با تحلیل رگرسیون غیرخطی چند متغیره حدود ۵۳۰۰۰ داده تولید شده از حل عددی رابطه ۶ معادلات مستقیم زیر برای محاسبه y_2/y_1 حاصل گردید. این معادلات دارای متوسط قدر مطلق خطای ۱/۵ درصد و حداقل خطای ۷ درصد در تعیین عمق ثانویه پرش هیدرولیکی می‌باشند (جدول ۱):

که در این معادلات A سطح قطع، D عمق هیدرولیکی جریان و \bar{y} فاصله مرکز هندسی قطع جریان تا سطح آزاد می‌باشدند. معادله اندازه حرکت به صورت زیر نوشته می‌شود:

$$\frac{Q^2}{gA_1} + \bar{y}_1 A_1 = \frac{Q^2}{gA_2} + \bar{y}_2 A_2 \quad (2)$$

با دقت در روابط ۱ و ۲ مشخص می‌شود که کمیتهای مؤثر در عمق ثانویه پرش هیدرولیکی (y_2) عبارت‌اند از: Q، g، b، y_1 و z . استفاده از آنالیز ابعادی این شش کمیت به چهار کمیت بی بعد y_2/y_1 ، b/y_1 ، Fr_1 و z تقلیل می‌یابند. عدد فرود جریان در مقاطع اولیه و ثانویه به صورت زیر محاسبه می‌شود:

$$Fr_1^2 = \frac{v_1^2}{gD_1} = \frac{Q^2}{gD_1 A_1^2}, \quad Fr_2^2 = \frac{v_2^2}{gD_2} = \frac{Q^2}{gD_2 A_2^2} \quad (3)$$

انرژی مخصوص در قطع اولیه (قبل از پرش) و قطع ثانویه (بعد از پرش) به صورت زیر تعریف می‌شود:

$$E_1 = y_1 + \frac{v_1^2}{2g} = y_1 + \frac{Q^2}{2gA_1^2}, \\ E_2 = y_2 + \frac{v_2^2}{2g} = y_2 + \frac{Q^2}{2gA_2^2} \quad (4)$$

افت انرژی و نسبت افت انرژی به انرژی اولیه نیز به صورت زیر بیان می‌شوند:

$$\Delta E = E_1 - E_2, \quad \frac{\Delta E}{E_1} = 1 - \frac{E_2}{E_1} \quad (5)$$

روابط ۴ و ۵ نشان می‌دهند که کمیتهای مؤثر بر نسبت افت انرژی ($\Delta E/E_1$) عبارت‌اند از: Q، y_1 ، b و g . با استفاده از آنالیز

حل عددی همزمان روابط ۶ و ۱۰ $\Delta E/E_1$ را برای مجموعه‌ای از مقادیر b/y_1 , Fr_1 و z به دست می‌دهد. با انجام تحلیل رگرسیون غیرخطی چند متغیره حدود ۴۲۰۰۰ داده تولید شده، معادلات مستقیم زیر برای محاسبه $\Delta E/E_1$ حاصل گردید. این معادلات دارای متوسط قدر مطلق خطای ۵/۱ درصد و حدکثر خطای ۱۰ ± درصد در تعیین نسبت افت انرژی به انرژی اولیه پرش هیدرولیکی هستند و در محدوده بسیار وسیعی از شرایط اولیه قابل استفاده می‌باشند (جدول ۲).

$$\frac{\Delta E}{E_1} = \alpha' \left(\frac{b}{zy_1} \right)^{\beta'} \cdot Fr_1^{\gamma'} \quad (11)$$

از آنجا که در پرش هیدرولیکی موجی $(1/7 \leq Fr_1 \leq 1/1)$ نسبت افت انرژی به انرژی اولیه پرش بسیار کوچک است، از ارائه رابطه برای این حالت اجتناب شده است.

۳- نتایج و بحث

بر اساس آنچه مطرح گردید، اگر شرایط جریان قبل از وقوع پرش هیدرولیکی معلوم باشد، با محاسبه پارامترهای بی بعد $b/(zy_1)$ و $Fr_1 = Q/(A_1 \times gD_1^{0.5})$ و با استفاده از رابطه ۸، y_2/y_1 و از آنجا عمق ثانویه پرش هیدرولیکی (y_2), مستقیماً تعیین می‌شود. در جدول ۳، مقادیر y_2/y_1 حاصل از رابطه پیشنهادی، در کنار مقادیر دقیق حاصل از حل عددی رابطه ۶ برای ۲۷ وضعیت مختلف، جهت مقایسه آورده شده است. در هر مورد درصد خطای استفاده از معادلات پیشنهادی قید شده است. خطای استفاده از روابط پیشنهادی برای مجموعه‌ای از داده‌ها که در آنالیز رگرسیون مورد استفاده قرار گرفته‌اند از رابطه $100/(y_{2a}-y_{2c})$ تعیین شده است، که در این رابطه y_{2a} و y_{2c} به ترتیب مقادیر حاصل از روش عددی و روابط پیشنهادی هستند.

جدول ۱- مقادیر α , β و γ در رابطه ۷

ملاحظات	ضریب تعیین (R^2)	γ	β	α	Fr_1
$1 \leq b/y_1 \leq 11$	0/۹۸	۱/۰۵۷۳	۰/۰۵۱۶	۰/۹۵۵۷	۲/۵ تا ۱/۰۱
$5 \leq b/y_1 \leq 25$	0/۹۸	۰/۹۸۸۸	۰/۰۷۷۰	۰/۹۷۴۰	۴/۵ تا ۲/۵
$15 \leq b/y_1 \leq 50$	0/۹۹	۰/۹۳۶۰	۰/۰۹۳۹	۱/۰۱۲۰	۱۳ تا ۴/۵

جدول ۲- مقادیر α' , β' و γ' در رابطه ۱۱

ملاحظات	ضریب تعیین (R^2)	γ'	β'	α'	Fr_1
$3 \leq b/y_1 \leq 10$	1/۰۹	۳/۴۵۲۰	-۰/۰۲۸۴	۰/۰۰۹۱	۲/۵ تا ۱/۷
$5 \leq b/y_1 \leq 25$	1/۰۷	۱/۵۴۱۲	-۰/۰۳۷۳	۰/۰۵۴۲	۴/۵ تا ۲/۵
$15 \leq b/y_1 \leq 50$	1/۰۴	۰/۴۹۲۵	-۰/۰۲۴۱	۰/۲۵۹۹	۱۳ تا ۴/۵

$$\frac{y_2}{y_1} = \alpha \left(\frac{b}{zy_1} \right)^\beta \cdot Fr_1^\gamma \quad (7)$$

۳-۲- معادلات برای تعیین افت انرژی با جایگذاری روابط ۴ در رابطه ۵ و با استفاده از رابطه ۳، برای نسبت افت انرژی به انرژی اولیه پرش هیدرولیکی رابطه زیر به دست می‌آید:

$$\frac{\Delta E}{E_1} = 1 - \frac{\frac{y_2}{y_1} + \frac{D_2}{2y_1} \times Fr_1^2}{1 + \frac{D_1}{2y_1} \times Fr_1^2} \quad (8)$$

با استفاده از روابط ۱ و ۳ رابطه بین اعداد فرود جریان در مقاطع قبل و بعد از پرش هیدرولیکی را بر حسب کمیتهای بی بعد معرفی شده می‌توان به صورت زیر نوشت:

$$Fr_2^2 = \frac{\left(\frac{b}{y_1} + z \right)^3 \left(\frac{b}{y_1} + 2z \left(\frac{y_2}{y_1} \right) \right)}{\left(\frac{b}{y_1} + 2z \right)^3 \left(\frac{b}{y_1} + z \left(\frac{y_2}{y_1} \right) \right)} \cdot \left(\frac{y_2}{y_1} \right)^{-3} \cdot Fr_1^2 \quad (9)$$

با ترکیب روابط ۱، ۸ و ۹ $\Delta E/E_1$ بر حسب کمیتهای بی بعد Fr_1 با صورت زیر نوشه می‌شود:

$$\frac{\Delta E}{E_1} = 1 - \frac{\frac{\left(\frac{b}{y_1} + z \right)^3 \left(\frac{y_2}{y_1} \right)^{-2}}{\left(\frac{b}{y_1} + 2z \right)^3 \left(\frac{y_2}{y_1} \right)^2} \times Fr_1^2}{1 + 0.5 \times \frac{\left(\frac{b}{y_1} + z \right)}{\left(\frac{b}{y_1} + 2z \right)} \times Fr_1^2} \quad (10)$$

جدول ۳- مقایسه مقادیر y_1/y_2 محاسبه شده به وسیله رابطه پیشنهاد شده و مقادیر حاصل از حل عددی

۲/۲۵				۱/۷۵				۱/۲۵				Fr_1
درصد خطأ	حل عددی	رابطه ۸	حل عددی	درصد خطأ	حل عددی	رابطه ۸	حل عددی	درصد خطأ	حل عددی	رابطه ۸	حل عددی	$b/(zy_1)$
۱/۹	۲/۳۳۴۶	۲/۲۸۹۸	۰/۸	۱/۷۸۹۹	۱/۸۰۴۱	۲	۱/۲۵۴۱	۱/۲۷۹۶	۲			
۱/۳	۲/۴۴۷۷	۲/۴۷۹۱	۱/۶	۱/۸۷۶۵	۱/۹۰۷۷	۰/۴۵	۱/۳۱۴۸	۱/۳۰۸۸	۵			
۱/۸	۲/۵۰۷۷	۲/۵۵۴۲	۱/۲	۱/۹۲۲۶	۱/۹۴۶۰	۲/۲	۱/۳۴۷۱	۱/۳۱۸۷	۸			
۴				۳/۵				۳				Fr_1
درصد خطأ	حل عددی	رابطه ۸	حل عددی	درصد خطأ	حل عددی	رابطه ۸	حل عددی	درصد خطأ	حل عددی	رابطه ۸	حل عددی	$b/(zy_1)$
۱/۱۵	۴/۵۸۰۱	۴/۶۳۳۳	۱/۳	۴/۰۱۳۰	۴/۰۶۶۶	۱/۱	۳/۴۴۶۲	۳/۴۸۵۲	۱۰			
۱/۳	۴/۷۰۰۳	۴/۷۵۹۸	۱/۱	۴/۱۱۸۹	۴/۱۶۳۹	۰/۵	۳/۵۲۶۶	۳/۵۵۵۶	۱۴			
۰/۹۶	۴/۷۹۲۲	۴/۸۳۸۷	۰/۶	۴/۱۹۹۴	۴/۲۲۲۹	۰/۲	۳/۶۰۵۷	۳/۶۰۵۷	۱۸			
۹				۷				۵				Fr_1
درصد خطأ	حل عددی	رابطه ۸	حل عددی	درصد خطأ	حل عددی	رابطه ۸	حل عددی	درصد خطأ	حل عددی	رابطه ۸	حل عددی	$b/(zy_1)$
۰/۶۵	۱۰/۲۰۴	۱۰/۲۷۱	۱/۳	۸/۰۶۵۴	۸/۱۷۵۳	۱/۱	۵/۸۸۶۴	۵/۹۵۲۲	۱۵			
۱/۵	۱۰/۷۰۵	۱۰/۸۷۱	۱/۳	۸/۴۶۱۷	۸/۵۷۳۳	۰/۱	۶/۱۷۵۷	۶/۱۶۹۹	۲۵			
۱/۲۴	۱۱/۰۴۹	۱۱/۱۸۸	۰/۵	۸/۷۳۳۳	۸/۷۷۶۶	-۱/۶	۶/۳۷۳۹	۶/۲۷۶۵	۳۵			

جدول ۴- مقایسه مقادیر $\Delta E/E_1 \times 100$ محاسبه شده به وسیله رابطه پیشنهاد شده و مقادیر حاصل از حل عددی

۲/۲				۱/۸				Fr_1			
درصد خطأ	رابطه ۱۲	حل عددی	درصد خطأ	درصد خطأ	رابطه ۱۲	رابطه ۱۲	حل عددی	درصد خطأ	رابطه ۱۲	حل عددی	$b/(zy_1)$
۳/۴۵	۱۳/۳۰	۱۳/۷۸	۱/۲۰	۶/۶۳	۶/۵۸	۶/۵۸	۴				
۳/۱۲	۱۳/۱۵	۱۳/۵۸	۱/۴۰	۶/۵۸	۶/۴۹	۶/۴۹	۶				
۴				۳				Fr_1			
درصد خطأ	رابطه ۱۲	حل عددی	درصد خطأ	درصد خطأ	رابطه ۱۲	رابطه ۱۲	حل عددی	درصد خطأ	رابطه ۱۲	حل عددی	$b/(zy_1)$
۰/۰۶	۴۲/۶۹	۴۲/۷۲	۲/۲۰	۲۷/۴۰	۲۸/۰۲	۲۸/۰۲	۷				
۰/۱۸	۴۱/۸۴	۴۱/۷۷	۱/۸۰	۲۶/۸۶	۲۷/۳۷	۲۷/۳۷	۱۲				
۹				۵				Fr_1			
درصد خطأ	رابطه ۱۲	حل عددی	درصد خطأ	درصد خطأ	رابطه ۱۲	رابطه ۱۲	حل عددی	درصد خطأ	رابطه ۱۲	حل عددی	$b/(zy_1)$
۱/۹۰	۷۱/۸۲	۷۳/۲۱	۳/۳۵	۵۴/۷۲	۵۲/۹۶	۵۲/۹۶	۲۰				
۱/۸۷	۷۰/۹۶	۷۲/۳۱	۳/۳۵	۵۴/۱۰	۵۲/۳۱	۵۲/۳۱	۳۵				

طور قابل ملاحظه‌ای کوچک است. رابطه ۱۱ برای تعیین نسبت افت انرژی به انرژی اولیه پرش هیدرولیکی دارای حداقل خطای ± 10 درصد و متوسط قدر مطلق خطای $1/5$ درصد است، که در مسائل طراحی مهندسی به اندازه کافی کوچک است. در مقایسه با روش‌های دیگری که تاکنون مطرح شده‌اند، این معادلات علاوه بر آنکه شکل ساده‌ای دارند، دارای دقت خوبی هستند و می‌توان از آنها برای بررسی‌های تحلیلی حوضچه‌های آرامش و تحلیل پرش هیدرولیکی در کanal‌های با مقطع ذوزنقه‌ای استفاده نمود. ضمن آنکه این امر بدون اعمال محدودیت در حجم جریان و افت انرژی میسر است. استفاده از معادلات مستقیم جهت طرح بهینه کanal‌های ذوزنقه‌ای به علت صادق بودن این معادلات در محدوده وسیعی از داده‌ها، از مزایای معادلات پیشنهادی می‌باشد.

در جدول ۴، مقادیر $\Delta E/E_1$ حاصل از معادلات مستقیم پیشنهادی ۱۱، در کنار مقادیر دقیق حاصل از حل عددی همزمان روابط ۶ و ۱۰ برای ۱۲ وضعیت مختلف، به منظور مقایسه آورده شده است. در هر مورد درصد خطای استفاده از روابط پیشنهادی قید شده است. محاسبه خطای مشابه آنچه در بخش قبل توضیح داده شد، صورت گرفته است.

۴- نتیجه‌گیری

روابط صریح مستقیم با استفاده از آنالیز رگرسیون غیرخطی چند متغیره برای تعیین عمق ثانویه و افت انرژی پرش هیدرولیکی در کanal‌های با مقطع ذوزنقه‌ای و دارای شبکه کم پیشنهاد گردید. رابطه ۷ برای تعیین عمق ثانویه پرش هیدرولیکی دارای حداقل خطای ± 7 درصد و متوسط قدر مطلق خطای $1/5$ درصد است، که به

۵- مراجع

- 1- Chaurasia, S. R. (2003). "Direct equations for hydraulic jump elements in rectangular horizontal channel." *J. Irrigation and Drainage Eng.*, 129(4), 291-294.
- 2- حسینی، س، ح، و ابریشمی، ج. (۱۳۷۸). هیدرولیک کanal‌های باز، انتشارات آستان قصه، چاپ هفتم.
- 3- Chaudhry, M. H. (1993). *Open channel flow*, Prentice-Hall, Inc., New York.
- 4- Chow, V. T. (1959). *Open channel hydraulics*, McGraw-Hill, Inc., New York.
- 5- U.S.B.R. (1964). *Hydraulic design of stilling basins and energy dissipaters*, USBR Pub.
- 6- Swamee, P. K., and Rathie, P. N. (2004). "Exact solutions for sequent depths problem." *J. Irrigation and Drainage Eng.*, 130(6), 520-522.
- 7- Swamee, P. K., and Rathie, P. N. (2005). "Discussion of direct equations for hydraulic jump elements in rectangular horizontal channel by Chaurasia." *J. Irrigation and Drainage Eng.*, 131 (3), 298-302.
- 8- Singh, S. K. (2005). "Discussion of direct equations for hydraulic jump elements in rectangular horizontal channel' by Chaurasia." *J. Irrigation and Drainage Eng.*, 131 (3), 305-310.